УДК 620.193

ЗАЩИТА ЛАТУНИ ОТ АТМОСФЕРНОЙ КОРРОЗИИ ЛЕТУЧИМ ИНГИБИТОРОМ КОРРОЗИИ ИФХАН-114

© Н.А. Курьято

Аннотация. Изучено защитное действие летучего ингибитора коррозии ИФХАН-114 по отношению к латуни Л62 в среде животноводческих помещений, содержащей микрокомпоненты воздуха (стимуляторы коррозии) ${\rm CO_2},~{\rm H_2S}$ и ${\rm NH_3}.~{\rm B}$ присутствии одновременно в воздухе всех трех стимуляторов коррозии в концентрациях: 0,6 об.% ${\rm CO_2},~{\rm 60}~{\rm mr/m^3}~{\rm NH_3},$ 30 мг/м³ ${\rm H_2S}$ защитное действие ИФХАН-114 достигает 93 %.

Ключевые слова: атмосферная коррозия; латунь; защитное действие; ИФХАН-114

ВВЕДЕНИЕ

Потери от атмосферной коррозии наносят немалый ущерб сельско-хозяйственному производству. Латунь используется в конструкционных материалах для сельскохозяйственной техники, в агрессивных условиях которых она подвергается коррозии. Особенно привлекательно может быть применение летучих ингибиторов коррозии (ЛИК) для противо-коррозионной защиты техники, оборудования в условиях животноводческих помещений, где высокая относительная влажность воздуха сопровождается наличием повышенных концентраций стимуляторов атмосферной коррозии, таких как углекислый газ (CO_2), аммиак (NH_3), сероводород ($\mathrm{H}_2\mathrm{S}$).

Целью данной работы является изучение защитного действия летучего ингибитора коррозии ИФХАН-114 в условиях атмосферной коррозии латуни (Л62) в животноводческих помещениях, содержащих микрокомпоненты воздуха (стимуляторы коррозии) CO_2 , H_2S и NH_3 .

МЕТОДИКА ЭКСПЕРИМЕНТА

Объектами исследования являются латунь (Л62): Cu (60,5–63,5 %), Zn (39–36 %), Pb (0,08 %), Fe (0,15 %), Sb (0,005 %), Bi (0,002 %), P (0,002 %) и летучий ингибитор коррозии ИФХАН-114, представляющий собой смесь (неэквимолярная) полиамина и слабой органической кислоты, давление насыщенного пара которого составляет $5 \cdot 10^{-4}$ мм рт. ст. (0,067 Па) [1].

Коррозионные испытания проводили в замкнутом пространстве в герметичных эксикаторах при 20 °C в условиях 100 %-ной влажности

воздуха ($\psi_0 = 100$ %), при действии сероводорода (H_2S) концентрацией 0,01 мг/л, диоксида углерода (CO_2) концентрацией 0,02 мг/л, аммиака (NH_3) концентрацией 0,03 мг/л. Образцы латуни Л62 размером $30 \times 25 \times 3$ мм шлифовали, обезжиривали ацетоном и взвешивали на аналитических весах с точностью до $1 \cdot 10^{-4}$ г. Затем их переносили в эксикаторы и крепили на деревянном подвесе. В эксикатор укладывали необходимое количество реагентов и добавляли воду. Эксикатор закрывали крышкой, герметизируя стык вакуумной смазкой.

После проведения испытаний в течение 240 ч образцы травили в 5 %-ном растворе серной кислоты в течение 20 с для удаления продуктов коррозии, промывали, сушили и взвешивали. Потерю массы оценивали на аналитических весах с точностью до $5 \cdot 10^{-5}$ г.

Рассчитав потерю массы пластины, находили скорость коррозии (K) пластины по формуле (1):

$$K = \frac{\Delta m}{S \cdot \tau},\tag{1}$$

где Δm — потеря массы пластины, г; S — площадь пластины, м 2 ; τ — длительность испытаний, часы.

Зная скорость коррозии, рассчитывали степень защиты покрытия (Z) и коэффициент торможения (γ) по формулам (2) и (3):

$$Z = \frac{K_o - K_{\text{инг}}}{K_o} \cdot 100 \%, \tag{2}$$

$$\gamma = \frac{K_o}{K_{\text{MHF}}},\tag{3}$$

где K_0 и $K_{\text{инг}}$ — скорость коррозии в отсутствие и в присутствии ингибитора [2].

Электрохимические измерения проводили в потенциодинамическом режиме на потенциостате IPC-ProMF со скоростью развертки потенциала 0,66 мВ/с. Основная емкость и емкость с платиновым электродом заполнены раствором 0,1 М NaCl в отсутствие и в присутствии карбоната и сульфида аммония, а емкость с хлоридсеребряным электродом — раствором КСl. После погружения в раствор рабочие электроды из латуни (Л62) с площадью поверхности 1,0–1,2 см², армированные в оправку из эпоксидной смолы ЭД-6, отвержденной полиэтиленполиамином, выдерживали 10–15 мин для установления квазистационарного потенциала. Перед погружением в раствор рабочую поверхность шлифовали до 6-го класса чистоты и обезжиривали ацетоном или спиртом.

ЭКСПЕРИМЕНТАЛЬНЫЕ РЕЗУЛЬТАТЫ

Результаты гравиметрических испытаний представлены в табл. 1-4.

Таблица 1

Скорость коррозии латуни Л62, защитный эффект и коэффициент торможения ЛИК ИФХАН-114 в среде, содержащей 0,6 об.% CO_2 и 60 мг/м³ NH_3 , при относительной влажности H=100~% (время испытаний -240~ч)

<i>K</i> _o , г/м ² ·ч	$K_{\scriptscriptstyle{\mathrm{ИНГ}}},\Gamma/{\scriptstyle{\mathrm{M}}}^2\cdot$ ч	Z, %	ү, раз
0,01	0,0018	82	5,6

Из табл. 1 видно, что скорость коррозии латуни в данных условиях составляет $0.01~\text{г/m}^2$ ·ч, наблюдается потемнение 75 % поверхности и отсутствие серьезных локальных повреждений. При введении ЛИК ИФ-XAH-114 в рассматриваемые условия скорость коррозии снижается до $0.0018~\text{г/m}^2$ ·ч, а защитный эффект достигает 82 %. Вероятно, в поверхностной пленке влаги протекают реакции, ведущие к образованию карбоната и гидрокарбоната аммония, что может резко затормаживать анодную реакции в присутствии ЛИК.

Таблица 2

Скорость коррозии латуни Л62, защитный эффект и коэффициент торможения ЛИК ИФХАН-114 в среде, содержащей 0,6 об.% ${\rm CO_2}$ и 30 мг/м³ ${\rm H_2S}$, при относительной влажности ${\rm H}$ = 100 % (время испытаний – 240 ч)

$K_{\rm o}$, г/м ² ·ч	$K_{\text{инг}}$, г/м 2 ·ч	Z, %	ү, раз
0,016	0,004	75	4,0

По данным из табл. 2 можем заметить, что скорость коррозии латуни равна $0{,}016~\text{г/m}^2{\cdot}\text{ч}$. Наблюдается потемнение 25 % поверхности, что ощутимо меньше, нежели в присутствии CO_2 и H_2S . При наличии ЛИК ИФХАН-114 скорость коррозии составляет $0{,}004~\text{г/m}^2{\cdot}\text{ч}$, а защитный эф-

фект равен 75 %. Очевидно, молекулы только его активного начала адсорбируются при небольшом подкислении на поверхностной твердофазной пленке, представляющей собой композицию карбонатов и полисульфидов меди и цинка либо только меди.

Таблица 3

Скорость коррозии латуни Л62, защитный эффект и коэффициент торможения ЛИК ИФХАН-114 в среде, содержащей 60 мг/м 3 NH $_3$ и 30 мг/м 3 H $_2$ S, при относительной влажности H = 100 % (время испытаний – 240 ч)

$K_{\rm o}$, г/м ² ·ч	$K_{_{\mathrm{ИНГ}}}$, г/м 2 ·ч	Z, %	ү, раз
0,08	0,02	75	4,0

Из результатов, приведенных в табл. 3, можем заметить, что скорость коррозии составляет 0,08 г/м 2 ·ч, наблюдается потемнение 40 % поверхности латуни за счет формирования твердофазной пленки CuO. При наличии ЛИК ИФХАН-114 защитный эффект составляет 75 %, $\gamma = 4,0$.

Таблина 4

Скорости коррозии латуни Л62, защитный эффект и коэффициент торможения ЛИК ИФХАН-114 в среде, одновременно содержащей NH_3 , H_2S и CO_2 , при относительной влажности H=100~% (время испытаний – 240~ч)

$K_{\rm o}$, г/м 2 ·ч	$K_{\scriptscriptstyle{\mathrm{ИНГ}}},\Gamma/\mathrm{M}^2\cdot$ ч	Z, %	ү, раз
0,027	0,002	93	14,3

Для латуни в рассматриваемых условиях $K_0 = 0,027 \text{ г/м}^2$ -ч коррозия носит локальный характер с мелким питтингом, а поверхность металла полностью покрыта продуктами коррозии фиолетового цвета, которые представляют собой смесь соединений Cu (I) и Cu (II) с плохой адгезией к поверхности.

В присутствии ИФХАН-114 скорость коррозии латуни $\sim 0,002 \text{ г/m}^2 \cdot \text{ч}$. Но в этих условиях на латуни появляются значительные локальные поражения, и поверхность металла обильно покрывается продуктами коррозии с плохой адгезией к подложке. Защитный эффект достигает 93 %.

Поляризационные кривые в 0,1 M растворе NaCl в отсутствие и в присутствии карбоната аммония на латуни Л62 представлены на рис. 1.

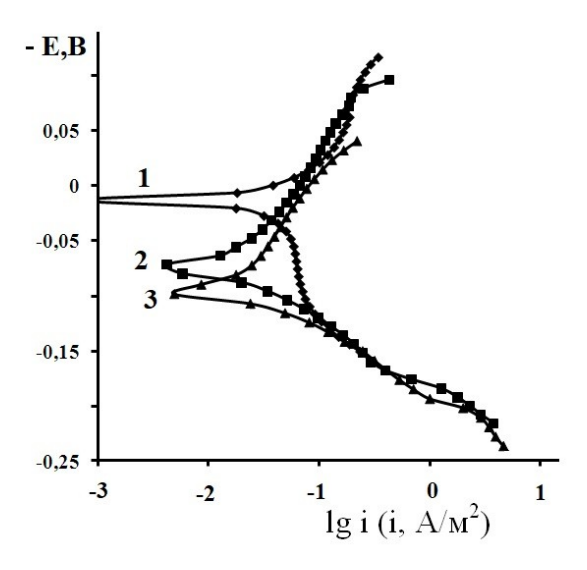


Рис. 1. Потенциодинамические поляризационные кривые латуни Л62 в 0,1 М растворе NaCl в отсутствие добавок (1), в присутствии 100 мг/л карбоната аммония (2), при наличии 100 мг/л карбоната аммония и добавлении 100 мг/л ИФХАН-114 (3). Воздушная атмосфера, комнатная температура, неподвижный электрод

На латуни в фоновом растворе $E_{\text{кор}}$ латуни — 0,040 В (рис. 1, кривая 1) на анодной поляризационной кривой наблюдается участок, подобный условиям пассивации, переходящий в область перепассивации. Введение (NH₄)₂CO₃ увеличивает $E_{\text{кор}}$ латуни до 0,075 В. Величина тока коррозии составляет 0,013 А/м² (табл. 5).

Введение ИФХАН-114 повышает $i_{\text{кор}}$ до 0,021 A/м², то есть на начальном этапе ЛИК выступает в роли стимулятора коррозионного процесса (рис. 1, кривые 2 и 3). Однако во времени эффект влияния ингибитора меняется со стимулирующего на противоположный, что следует из данных весовых испытаний.

Таблица 5 Защитная эффективность ЛИК ИФХАН-114 в среде карбоната аммония

№	Споло	Латунь Л62		
Π/Π	Среда	$-E_{\text{kop}}$, B	$i_{\text{kop}}, A/\text{M}^2$	Z, %
1	фон	+0,04		_
2	$(NH_4)_2CO_3$	+0,075	0,013	_
3	$(NH_4)_2CO_3 + ИХАН-114$	+0,10	0,021	С

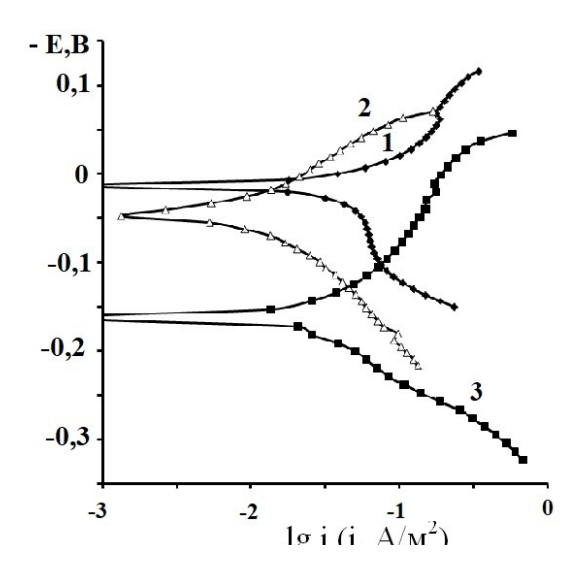


Рис. 2. Потенциодинамические поляризационные кривые латуни Л62 в 0,1 М растворе NaCl в отсутствие добавок (1), в присутствии 100 мг/л сульфида аммония (2), при наличии 100 мг/л сульфида аммония и добавлении 100 мг/л ИФХАН-114 (3). Воздушная атмосфера, комнатная температура, неподвижный электрод

В среде, содержащей H_2S и NH_3 , картина иная (рис. 2). $E_{\text{кор}} = -0.040$ В, $i_{\text{кор}} = 0.032$ А/м² (~ 0.035 г/м²·ч) (табл. 6). В присутствии (NH_4)₂S потенциал коррозии возрастает до 0.05 В (рис. 2, кривые 1 и 2), одновременно существенно тормозится анодный процесс, а $i_{\text{кор}}$ снижается до 0.010 А/м².

Таблица 6 Защитная эффективность ЛИК ИФХАН-114 в среде сульфида аммония

No	Среда	Латунь Л62		
Π/Π		$-E_{\text{kop}}$, B	$i_{\text{kop}}, A/\text{M}^2$	Z, %
1	фон	+0,04	0,032	_
2	$(NH_4)_2S$	0,05	0,010	69
3	$(NH_4)_2S + ИФХАН-114$	0,14	0,014	56/C

Введение ИФХАН-114 увеличивает $E_{\rm кор}$ до 0,140 В. Одновременно тормозится анодная реакция и возрастает скорость катодной вблизи $E_{\rm кор}$, $i_{\rm kop}=0,014~{\rm A/m}^2$, то есть этот продукт на начальном этапе коррозии не ингибирует, а стимулирует процесс за счет преимущественного влияния катодного восстановления деполяризатора ${\rm O}_2$ (рис. 2, кривые 2 и 3). $B_{\rm a}=0,095~{\rm B}.$

ВЫВОДЫ

- 1. Защитное действие латуни в присутствии ИФХАН-114, по данным гравиметрических испытаний, существенно зависит от природы стимуляторов коррозии, присутствующих в воздухе, и от их качественного состава.
- 2. При добавлении летучего ингибитора коррозии ИФХАН-114 защитный эффект колеблется от 75 (при наличии в атмосфере $CO_2 + H_2S$ или $NH_3 + H_2S$) до 82 % (в присутствии $CO_2 + NH_3$), а в атмосфере, содержащей все три стимулятора коррозии (H_2S , CO_2 , NH_3), наблюдается значительное снижение скорости коррозии, и защитный эффект ингибитора достигает 93 %, но при этом наблюдаются значительные локальные поражения.
- 3. Введение ИФХАН-114 (C = 100 мг/л) стимулирует коррозионный процесс в средах, содержащих добавки карбоната аммония. В среде, содержащей H_2S и NH_3 , при введении 100 мг/л ИФХАН-114 наблюдается стимулирование процесса коррозии за счет преимущественного влияния катодного восстановления деполяризатора O_2 .

Список литературы

- 1. Вигдорович В.И., Князева Л.Г., Зазуля А.Н., Прохоренков В.Д., Дорохов А.В., Кузнецова Е.Г., Урядников А.А. Использование летучих ингибиторов типа «ИФХАН» для защиты стального оборудования в атмосфере животноводческих помещений // Российская сельскохозяйственная наука. 2017. № 3.
- 2. *Цыганкова Л.Е., Вигдорович В.И., Поздняков А.П.* Введение в теорию коррозии металлов. М.: Изд-во ТГУ им. Г.Р. Державина, 2002. 311 с.

Поступила в редакцию 30.01.2019 г. Отрецензирована 06.02.2019 г. Принята в печать 15.02.2019 г.

Информация об авторе:

Курьято Николай Алексеевич – магистрант по направлению подготовки «Химия». Тамбовский государственный университет им. Г.Р. Державина, г. Тамбов, Российская Федерация. E-mail: cska-sparta@yandex.ru

PROTECTION OF BRASS FROM ATMOSPHERIC CORROSION BY VOLATILE CORROSION INHIBITOR IFHAN-114

Kuryato N.A., Master's Degree Student in "Chemistry" Programme. Derzhavin Tambov State University, Tambov, Russian Federation. E-mail: cska-sparta@yandex.ru

Abstract. In this paper we study the protective action of volatile corrosion inhibitor IFHAN-114 towards the brass L62 in the environment of livestock buildings that contain air microcomponents of air (stimulants corrosion) CO₂, H₂S and NH₃. In the presence of simultaneously in the air all three stimulators corrosion in concentrations: 0.6 % CO₂, 60 mg/m³ NH₃, 30 mg/m³ H₂S protective effect of IFHAN-114 reaches 93 %.

Keywords: atmospheric corrosion; brass; protective action; IFHAN-114

Received 30 January 2019 Reviewed 6 February 2019 Accepted for press 15 February 2019